

ВОЗДЕЙСТВИЕ ЛАЗЕРНОГО ИЗЛУЧЕНИЯ НА ВЕЩЕСТВО. ЛАЗЕРНАЯ ПЛАЗМА**Генерация рентгеновского излучения быстрыми электронами, распространяющимися в нанонитях, облучаемых коротким лазерным импульсом с релятивистской интенсивностью**

А.А.Андреев, К.Ю.Платонов

Проведено численное моделирование взаимодействия лазерного импульса с релятивистской интенсивностью с мишенью, состоящей из нанометровых нитей. Показано, что быстрые электроны совершают вынужденные бетатронные колебания в электростатическом поле нити и в лазерном поле. Определен диаметр нити, при котором происходит резонансное увеличение амплитуды бетатронных колебаний электрона. Вычислена мощность когерентного рентгеновского бетатронного излучения электронного сгустка вне области резонанса и в резонансном случае. Показано, что в случае резонанса коэффициент конверсии лазерного излучения в рентгеновское бетатронное излучение достигает единиц процентов и мишень из нанометровых нитей может рассматриваться как эффективный лазерный источник когерентного рентгеновского и гамма-излучения.

Ключевые слова: лазерное ускорение электронов, бетатронное излучение, нанонити, лазерный источник когерентного рентгеновского излучения.

1. Введение

В настоящее время интенсивно исследуется генерация релятивистских электронных пучков (РЭП) и жестких рентгеновских квантов при взаимодействии лазерного излучения с различными мишенями [1]. Целью исследований является увеличение интенсивности, степеней монохроматичности и направленности электронного и радиационного потоков, а также достижение контролируемости их параметров. Прохождение значительных электронных токов в лазерных мишенях невозможно без генерации «холодного» противотока, компенсирующего собственное магнитное поле пучка. В сплошных мишенях наличие противотока приводит к неустойчивости и филаментации релятивистского тока и переходу его в турбулентный режим [2]. В структурированных мишенях, состоящих, например, из нанометровых параллельных нитей, такой процесс затруднен, поскольку параметры филаментов определены диаметром нитей. Следовательно, можно ожидать подавления неустойчивости, значительного увеличения длины пробега РЭП и эффективной генерации направленного квазимонохроматического жесткого излучения.

Современные технологии позволяют создавать мишени в виде пучка нитей нанометрового диаметра [3], а вследствие высокого контраста лазерное излучение предимпульса может не разрушать эти нити. В процессе распространения вдоль нити релятивистские электроны совершают поперечные (бетатронные) колебания относительно-

но оси нити, генерируя жесткое излучение. Аналогичное излучение генерируется при колебаниях электронов в ионном канале прозрачной плазмы [4]. В частности, при небольших амплитудах колебаний электрона относительно оси канала характерная частота излучения $\omega_{ch} = \omega_p \gamma^{3/2} \sqrt{2}$, где γ – лоренц-фактор релятивистского пучка электронов, а ω_p – плазменная частота электронов фоновой плазмы в канале. Угол отклонения электрона от оси канала при его движении по траектории в этом случае меньше характерного угла раствора излучения $\theta \approx 1/\gamma$ (условие малости амплитуды колебаний). Если амплитуда r_{max} бетатронных колебаний становится значительной, т.е. параметр $K = 1.33 \times 10^{-10} \sqrt{\gamma n_{ch}} r_{max} > 1$ (n_{ch} – концентрация быстрых электронов в канале в $см^{-3}$, r_{max} взято в мкм), начинают излучаться высокочастотные гармоники. Характерный угол раствора излучения возрастает до $\theta \approx K/\gamma$, спектр излучения становится квазинепрерывным и похожим на спектр синхротронного излучения. Характерной энергией (определяющей максимум спектра) становится энергия $\hbar\omega_c \approx 5 \times 10^{-24} \gamma^2 n_{ch} r_{max}$ (n_{ch} взято в $см^{-3}$, r_{max} – в мкм, а $\hbar\omega_c$ – в кэВ). На частотах $\omega < \omega_0$ амплитуда спектра растет пропорционально $\omega^{2/3}$, достигает максимума при $\omega \approx 0.3\omega_c$ и затем экспоненциально спадает. Синхротронный спектр излучения электронов в плазменном канале экспериментально наблюдался в работе [5]. Когерентный характер бетатронного излучения электрона в канале подтверждается тем, что мощность излучения электрона пропорциональна квадрату плотности фоновой плазмы канала. Этот факт также подтвержден экспериментально в [5].

Механизм генерации бетатронного излучения электронов, движущихся вдоль нитей лазерной мишени, аналогичен таковому в плазменном канале. И в том и в другом случае излучение порождает поперечные колебания релятивистского электрона в электростатическом поле, имеющем вид потенциальной ямы. Бетатронное излучение нитей, однако, имеет ряд преимуществ по сравнению с бетатронным излучением канала. Первым из них является большее число излучающих электронов. Характер-

А.А.Андреев. АО «ГОИ им. С.И.Вавилова», Россия, 199034 С.-Петербург, ул. Биржевая, 12; Университет ИТМО, Россия, 197101 С.-Петербург, Кронверкский просп., 49; Санкт-Петербургский государственный университет, Россия, 199034 С.-Петербург, Университетская наб., 7–9

К.Ю.Платонов. АО «ГОИ им. С.И.Вавилова», Россия, 199034 С.-Петербург, ул. Биржевая, 12; Санкт-Петербургский государственный политехнический университет, Россия, 195251 С.-Петербург, ул. Политехническая, 29; e-mail: konstantin_platonov@yahoo.com

Поступила в редакцию 28 октября 2015 г.

ные значения концентрации быстрых электронов в канале n_{ch} достигают $\sim 10^{19} \text{ см}^{-3}$. Из нити радиусом R электроны полностью извлекаются лазерным полем величиной $E_L > 2eZn_iR$, где e – заряд электрона, а Z – средняя кратность ионизации ионов плазмы с концентрацией n_i . Соответствующая этому полю безразмерная амплитуда $a_L = eE_L/(m_e\omega_L c) \geq n_e R/(n_{cr}\lambda_L)$, где m_e – масса электрона, ω_L и λ_L – центральная частота и соответствующая ей длина волны лазерного излучения, n_e – концентрация электронов, n_{cr} – критическая концентрация электронов. Например, полем $a_L = 5$ (интенсивность $3.5 \times 10^{19} \text{ Вт/см}^2$) можно полностью извлечь электроны из углеродной нити диаметром $\sim 10 \text{ нм}$. Нить большего радиуса сохранит часть электронов и приобретет под действием лазерного поля заряд на единицу длины $\rho \approx E_L R/2$. Извлеченные из нити электроны при этом не смогут отойти далеко от нее (это вызовет увеличение ρ и притяжение электронов обратно). Характерное расстояние между электроном и нитью (дебаевский радиус r_D) составляет $\sim 1 \text{ мкм}$. В этом случае концентрация «горячих» электронов вокруг нити $n_{ch} = Zn_i(R/r_D)^2$. Для углеродной нити диаметром 60 нм она равна $3.2 \times 10^{20} \text{ см}^{-3}$, что больше концентрации электронов в плазменном канале. При расстояниях между нитями мишени $b \approx 2r_D$ поперечное сечение лазерного пучка окажется заполненным быстрыми электронами с концентрацией, превышающей концентрацию электронов канала.

Вторым преимуществом нитей является их более сильное электростатическое поле. Поле на траектории электрона в канале составляет около $2en_{ch}r_{max}$. Характерное поле углеродной нити на орбите электрона $2\rho/r_D \approx E_L R/r_D \approx 2eZn_i R^2/r_D$, и для $r_{max} \approx 2 \text{ мкм}$ оно оказывается примерно в 16 раз больше поля канала. Более сильное поле увеличивает поперечное ускорение электронов и интенсивность бетатронного излучения. При движении электрона в поле двух сил (электромагнитной волны и поля нити) возможен резонанс, при котором энергия электронных колебаний и интенсивность бетатронного излучения возрастают. Отметим, что оба варианта мишеней предназначены для генерации когерентного жесткого излучения в заданном и достаточно узком интервале энергий квантов. Для эффективной генерации жесткого излучения во всем возможном диапазоне энергий квантов более целесообразно направить поток электронов из нитяной мишени в сплошную твердотельную область (например, поместив нити мишени на подложку) и получить тормозное излучение Бете–Гайтлера электронов в сплошной среде со слабо зависящей от энергии кванта спектральной интенсивностью вплоть до энергий, сравнимых с энергией излучающего электрона. Перейдем к исследованию бетатронного излучения мишеней из нанонитей.

2. Численное моделирование

Для исследования взаимодействия лазерного излучения с мишенями из нанонитей использовалось двумерное моделирование движения частиц плазмы методом «частиц в ячейке». С помощью модифицированного кода [6] проводилось моделирование взаимодействия лазерного излучения с мишенями, состоящими из параллельных нитей. Лазерное излучение с длиной волны $\lambda_L = 0.8 \text{ мкм}$ падало на концы нитей вдоль их поверхностей. Диаметр лазерного пучка $d_L = 4 \text{ мкм}$, длительность гауссова импульса $t_L = 45 \text{ фс}$, максимальная интенсивность излучения $I_L = 3 \times 10^{19} \text{ Вт/см}^2$. Расчеты проводились в боксе раз-

мером $100 \times 100 \text{ мкм}$ с 25×10^6 ячеек, максимальное число квазичастиц в ячейке составляло 30. Мишени состояли из углеродных нитей радиусом $r_w > 30 \text{ нм}$ с расстоянием между нитями $b > 100 \text{ нм}$. Перебор диаметров $d_w = 2r_w$ и расстояний b показал [7], что среди мишеней из параллельных нитей оптимальными (по числу и энергии ускоренных электронов) являются мишени с диаметром нити порядка толщины скин-слоя l_s для лазерного поля с релятивистской интенсивностью ($\sim 40 \text{ нм}$ для углеводородной нити $\text{C}^{6+}\text{H}^{1+}$ с начальной концентрацией $4 \times 10^{22} \text{ см}^{-3}$) и расстоянием между нитями порядка дебаевского радиуса горячих электронов ($r_D \approx 1 \text{ мкм}$). Такие оптимальные мишени полностью поглощают лазерное излучение на расстоянии в несколько микрометров от начала нитей и конвертируют его в направленное движение электронного потока вдоль нитей. Длина поглощения зависит от расстояния между нитями и может быть увеличена до сотен микрометров при расстояниях, превышающих $2\lambda_L$. На рис. 1 по-

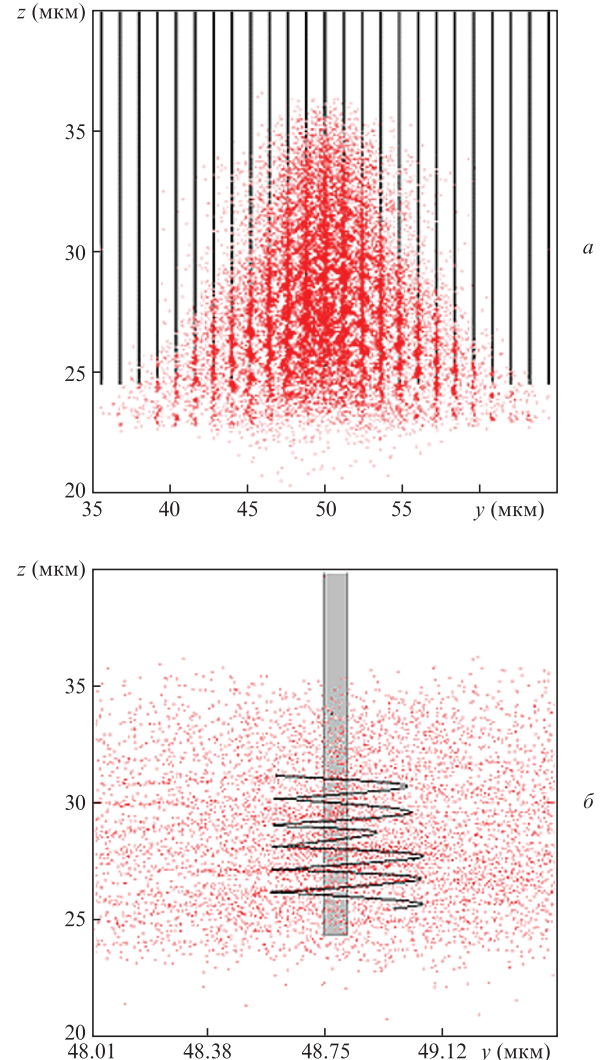


Рис. 1. Пространственное распределение горячих электронов ($p_z > 1$) в углеродных нитях диаметром 60 нм (точки) в нормальном (а) и увеличенном (б) масштабах. Вертикальными линиями на рис. 1, а и серой полосой на рис. 1, б показан ионный остов нити. Черная линия на рис. 1, б – траектория электрона, полученная из уравнений (1). Расстояние между нитями $b = 1200 \text{ нм}$, диаметр лазерного пучка $d_L = 4 \text{ мкм}$, длительность $t_L = 45 \text{ фс}$, интенсивность $I_L = 3 \times 10^{19} \text{ Вт/см}^2$. Цветной вариант рис. 1 помещен на сайте нашего журнала <http://www.quantum-electron.ru>.

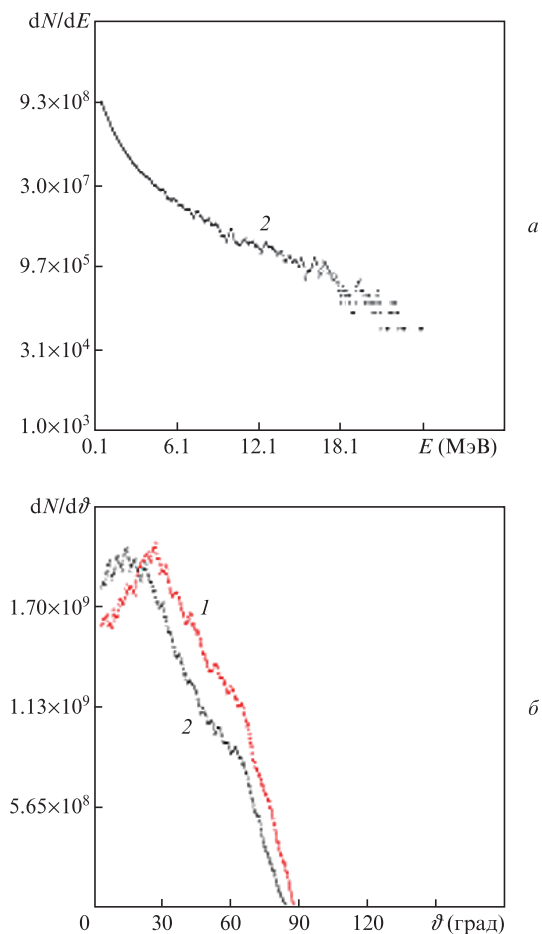


Рис.2. Функция распределения dN/dE электронов в нитях при $t = 128$ фс (а) и угловое распределение быстрых электронов при $t = 85$ (1) и 128 фс (2) (б). Параметры импульса и мишени указаны в подписи к рис.1.

казано пространственное распределение быстрых (продольный импульс $p_z > 1$) электронов, движущихся в мишени с радиусом нити 30 нм и расстоянием между нитями 1200 нм, а на рис.2 приведены угловое и энергетическое распределение этих электронов.

Физической причиной, позволяющей быстрым электронам распространяться вдоль нитей, является возникновение в нитях противотока холодных электронов: быстрые электроны, покидая нить, приводят к ее положительному заряду, и этот заряд притягивает холодные электроны из удаленных участков нити. Поэтому при распространении на расстояние в десятки микрометров сохраняется число быстрых электронов. Плотность обратного тока в нити превышает плотность тока быстрых электронов в ней (при этом полные токи примерно одинаковы с учетом движения быстрых электронов в вакуумном промежутке между нитями). В результате вокруг нити создается магнитное поле с противоположной, чем у поля тока самих быстрых электронов, полярностью. Магнитное поле с такой полярностью устраняет эффект запирания тока быстрых электронов, имеющий место в сплошной мишени. Вследствие этого сгусток быстрых электронов способен распространяться вдоль нити на значительные расстояния. Основной вклад в потери электрона при распространении вдоль нити и в формирование его длины пробега вносит коллективная ионизация сгустком материала мишени, появляющаяся из-за наведенного обратного тока. Как показа-

но в [7], пробег сгустка электронов вдоль параллельных нитей мишени достигает ~ 1.5 мм, при этом отдельные быстрые электроны распространяются уже в «нейтральном» материале нити на сантиметровые расстояния [8].

Анализ углового распределения быстрых электронов на рис.2,б показывает, что его максимум приходится на углы $\sim 10^\circ$, следовательно, при распространении электронов вдоль нити практически со световой скоростью происходят и их поперечные колебания (трехмерное движение по спирали) в электростатическом поле нити и вокруг нити образуется дебаевская «шуба» движущегося сгустка. Из рис.2,б также видно, что характерный угол, под которым распространяется электрон ($\vartheta = 10^\circ - 15^\circ$), устанавливается после окончания лазерного импульса (кривая 2). Во время действия импульса угол распространения $\vartheta \approx 30^\circ$ (кривая 1). Таким образом, вид поперечных колебаний электрона вблизи нити после окончания действия лазерного поля изменяется. На рис.1,а представлена электронная «шуба» (точки), окружающая каждую нить. Отдельно в увеличенном масштабе на рис.1,б показана нить с осциллирующими вокруг нее электронами.

Бетатронные колебания электронов в окрестности нити на рис.1 порождают жесткое излучение, интенсивность которого определяется в разд.3. Из рис.2,а видно, что характерный лоренц-фактор электрона $\langle \gamma \rangle \approx 20$ (энергия ~ 10 МэВ), а на рис.2,б угол отклонения электрона в максимуме распределения $\vartheta \approx 15^\circ$, или 0.25 рад. Соответственно характерный угол раствора излучения релятивистского электрона $\theta \approx 1/\langle \gamma \rangle$ меньше характерного угла отклонения его траектории (при этом $K > 1$), и бетатронное излучение по своим параметрам близко к синхротронному излучению при соответствующем радиусе кривизны траектории электрона.

3. Аналитическая модель генерации бетатронных колебаний

3.1. Возбуждение поперечных электронных колебаний в нити внешним лазерным полем

Амплитуда колебаний электронов и плотность заряда нити устанавливаются во время действия лазерного поля за счет экстракции электронов в вакуумные промежутки между нитями. Рассмотрим вначале движение электронов на отрезке нити, где падающий лазерный импульс искажен слабо (нижний прямоугольник на рис.3,а). Для проведенного PIC-моделирования это первые 5 мкм (длина отрезка зависит от расстояния между нитями и может быть увеличена). Далее вдоль мишени (верхний прямоугольник на рис.3,а и прямоугольник на рис.3,б) происходит перерассеяние и поглощение исходного поля. Поле в этой области еще больше, но описывается уже самосогласованным решением уравнений Максвелла с электронным током. Данная область рассматривается в следующих разделах. В области, лежащей еще выше, движение электронов происходит только в электростатическом поле нитей, лазерное излучение отсутствует. Заряд нитей при этом устанавливается самосогласованным образом и зависит от числа быстрых электронов, а следовательно, от интенсивности и длительности лазерного импульса. В описываемой ниже модели движения электрона в поле нити ее заряд является свободным параметром и оценивается исходя из условия совпадения результатов модельных и численных расчетов. Такой подход позволяет рассмотреть

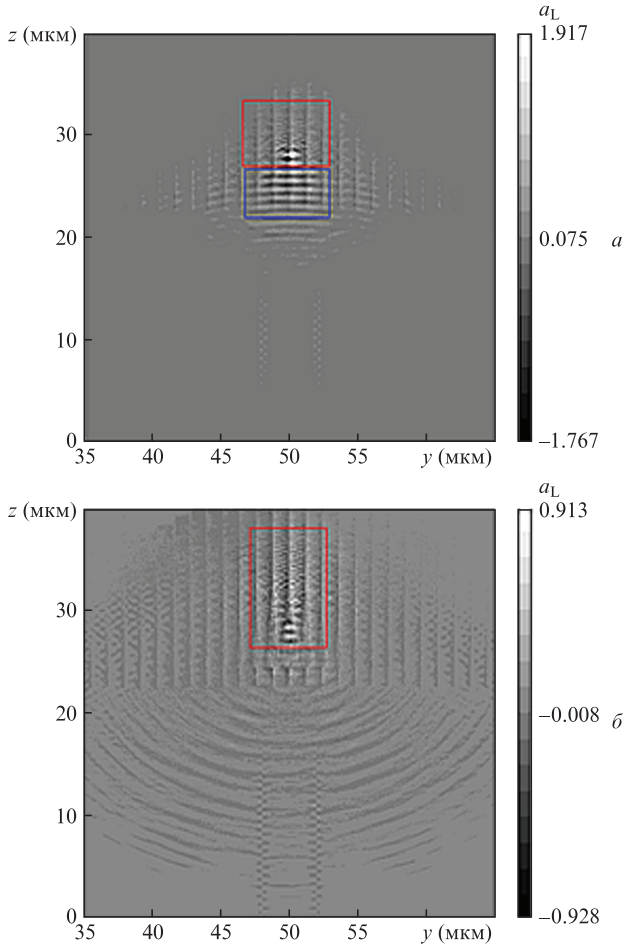


Рис.3. Лазерное поле внутри мишени из нитей при $t = 64$ (а) и 85 фс (б). Параметры импульса и мишени указаны в подписи к рис.1. Цветной вариант рис.3 помещен на сайте нашего журнала <http://www.quantum-electron.ru>.

движение электронов в одночастичном приближении и по найденному закону движения электрона вычислить интенсивность бегатронного излучения.

Уравнения движения электрона в вакуумном лазерном поле и электростатическом потенциале заряженных нитей (нижний прямоугольник на рис.3,а) в цилиндрической системе координат имеют следующий вид:

$$\begin{aligned} \frac{dp_r}{d\xi} &= -\frac{\gamma}{\gamma - p_z} \frac{\partial \tilde{U}(\tilde{r})}{\partial \tilde{r}}, \\ \frac{d\tilde{M}_z}{d\xi} &= \frac{\gamma a(\xi)}{\gamma - p_z} \\ &\times \frac{[p_r + a(\xi)\cos\varphi]\sin\varphi + [\tilde{M}_z/\tilde{r} - a(\xi)\sin\varphi]\cos\varphi}{1 + \tilde{U}(0) - \tilde{U}(\tilde{r})}, \\ p_z &= \{1 + [p_r + a(\xi)\cos\varphi]^2 + [\tilde{M}_z/\tilde{r} - a(\xi)\sin\varphi]^2 \\ &- [1 + \tilde{U}(0) - \tilde{U}(\tilde{r})]^2\}^{1/2} \{2[1 + \tilde{U}(0) - \tilde{U}(\tilde{r})]\}^{-1}, \\ \frac{d\varphi}{d\xi} &= \frac{\tilde{M}_z/\tilde{r} - a(\xi)\sin\varphi}{\tilde{r}(\gamma - p_z)}, \\ \frac{d\tilde{r}}{d\xi} &= \frac{p_r + a(\xi)\cos\varphi}{\gamma - p_z}, \end{aligned} \quad (1)$$

$$\frac{d\tilde{z}}{d\xi} = \frac{p_z}{\gamma - p_z},$$

$$\frac{d\tau}{d\xi} = \frac{\gamma}{\gamma - p_z},$$

$$a(\xi) = a_L \sin\xi, \quad \gamma = p_z + 1 + \tilde{U}(0) - \tilde{U}(\tilde{r}).$$

Здесь введены следующие безразмерные величины: координаты $\tilde{r} = \omega_L r/c$, $\tilde{z} = \omega_L z/c$, $\xi = \omega_L(t - z/c)$, $\tau = \omega_L t$; импульсы $p_{r,z}$ (в единицах $m_e c$); момент импульса \tilde{M}_z (в единицах $m_e c^2/\omega_L$) и потенциал $\tilde{U} = U/(m_e c^2)$. Лазерное поле a_L линейно поляризовано вдоль оси x (в плоскости $\varphi = 0$), φ – азимутальный угол. Потенциал $\tilde{U}(r)$ заряженных N нитей (нити расположены в плоскости xz и ориентированы вдоль оси z) определяется формулой

$$\tilde{U}(r) = \sum_{n=-N}^N \frac{1}{m_e c^2} \begin{cases} 2e\rho \ln \frac{|r - nbe_x|}{r_w} & \text{при } |r - nbe_x| > r_w, \\ e\rho \left(\frac{|r - nbe_x|^2}{r_w^2} - 1 \right) & \text{при } |r - nbe_x| < r_w. \end{cases} \quad (2)$$

Поскольку численное PIC-моделирование проводилось в плоском двумерном (2D) приближении, сравнение решений системы (1) с результатами численного счета корректно, если траектория электрона является плоской. Соответственно для сопоставления с результатами PIC-расчета численное решение уравнений (1) проведем в плоскости xz , считая, что во время движения электрона момент импульса электрона $\tilde{M}_z = 0$ и угол $\varphi = 0$. Такой предельный случай корректен при линейной поляризации лазерной волны. Основные силы действуют на электрон в плоскости поляризации электромагнитной волны xz , а движение по оси y связано с начальными условиями и происходит с нерелятивистскими скоростями. Также отметим, что потенциал нитей (2) соответствует реальной трехмерной (3D) геометрии, а в 2D пределе для сопоставления с результатами численного моделирования следовало бы использовать потенциал плоскостей вместо потенциала нитей (линейная функция вместо логарифмической). Численное интегрирование выражения (2) с логарифмическим и линейным потенциалами (с одинаковой глубиной и шириной потенциальной ямы для электрона) показало, что с точностью порядка единицы основные характеристики движения электрона для этих потенциалов совпадают. Поэтому ниже потенциал (2) будет использоваться и при сопоставлении результатов модельных и численных расчетов.

Мощность излучения электрона, движущегося в плоскости xz , вычисляется из решения системы (1):

$$\begin{aligned} \frac{P_{le}}{P_0} &= \tilde{P}_{le} = \gamma^4 (w_r^2 + w_z^2) + \gamma^6 (w_r v_r + w_z v_z)^2, \\ P_0 &= \frac{2e^2 \omega_L^2}{3c}, \end{aligned} \quad (3)$$

где компоненты безразмерных скорости v и ускорения w электрона определяются из (1) как

$$\begin{aligned} v_r &= \frac{d\tilde{r}}{d\tau}, \quad v_z = \frac{d\tilde{z}}{d\tau}, \\ w_r &= \frac{1 - v_z}{\gamma} \frac{\partial a(\xi)}{\partial \xi} + \frac{\partial \tilde{U}(\tilde{r})}{\gamma \partial \tilde{r}} - \frac{v_z^2}{\gamma} \left[\frac{\partial \tilde{U}(\tilde{r})}{\partial \tilde{r}} + \frac{\partial a(\xi)}{\partial \xi} \right], \end{aligned} \quad (4)$$

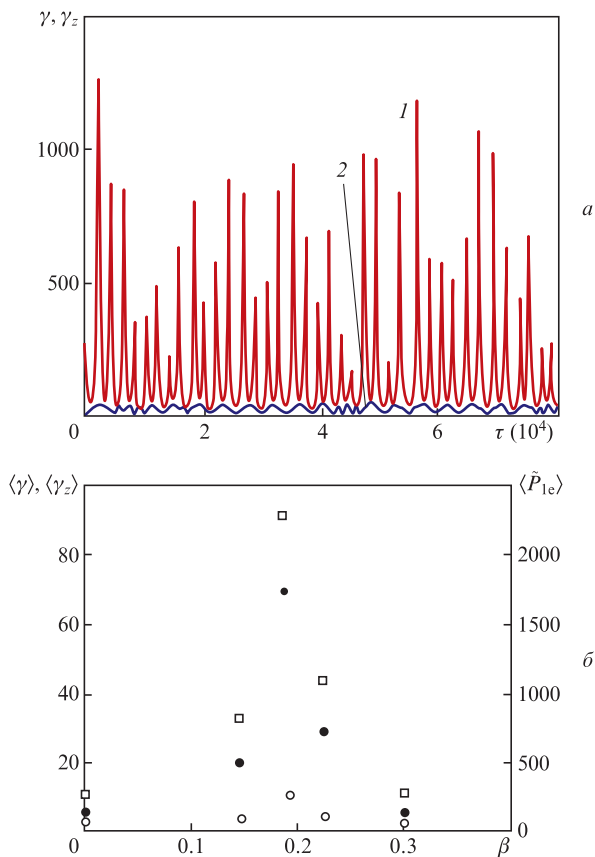


Рис.4. Лоренц-фактор γ (1) и продольный лоренц-фактор γ_z (2) электрона в нити радиусом 30 нм при $a_L = 5$ и $\beta = 0.19$ как функция времени (а), а также средние по времени значения $\langle \gamma \rangle$ (\square), $\langle \gamma_z \rangle$ (\circ) и безразмерной мощности излучения $\langle \tilde{P}_{1c} \rangle$ (\bullet) как функции безразмерной плотности заряда нити β (б). Значение $\tau = 2 \times 10^4$ соответствует размерному времени 8.5 пс. Цветной вариант рис.4,а помещен на сайте нашего журнала <http://www.quantum-electron.ru>.

$$w_z = \frac{v_r}{\gamma} \frac{\partial a(\xi)}{\partial \xi}.$$

Отметим, что для рассматриваемых нами тонких нитей основной вклад дает верхнее выражение в (2), а в плазменных каналах, наоборот, существенно нижнее выражение.

Решить систему уравнений (1) можно только численно. Удобно ввести безразмерную плотность заряда нити $\beta = 2e\rho/(m_e c^2)$ и построить зависимости лоренц-фактора γ и лоренц-фактора продольного движения электрона γ_z от времени при различных β (рис.4). Траектория электрона, рассчитанная по уравнениям (1) (черная линия на рис.1,б), совпадает с полученной при PIC-расчете (сгущения точек на рис.1,б) при параметре $\beta = 0.23$, что соответствует удалению 8% заряда электронов из нити.

Из рис.4,б видно, что при фиксированной интенсивности лазерного импульса и изменении плотности заряда нити возможно значительное увеличение энергии колебаний электрона и интенсивности бетатронного излучения (при $\beta = 0.19$). Этот случай, требующий точной настройки параметров нити и лазерного импульса, будет рассмотрен в разд.5 настоящей работы, а в п.3.2 мы определим интенсивность бетатронного излучения вне резонансной области.

3.2. Интенсивность бетатронного излучения электронов при их распространении вдоль нити

Формула (3) позволяет численно найти интенсивность бетатронного излучения отдельного электрона и с помощью численного решения уравнений движения (1). Для получения аналитических результатов необходимо упрощение в первую очередь системы уравнений движения. Результаты PIC-расчета, представленные на рис.3, показывают, что слабо искаженное «вакуумное» лазерное поперечное поле занимает первые ~ 5 мкм нити, следующие ~ 5 мкм занимает переходная область, где поперечное поле сильно искажено и меньше по амплитуде. Далее (после первых ~ 10 мкм) электроны движутся вдоль нити в ее амбиполярном поле без влияния поперечных полей на динамику электрона. Распределения электронов по углам и энергиям к этому времени показаны на рис.2 (кривые 2). Угловое распределение электронов после окончания воздействия лазерного поля (рис.2,б, кривая 2) имеет максимум при меньших углах, чем в случае, когда электрон двигался в поле волны и в поле нити (рис.2,б, кривая 1). Таким образом, при выходе электронов из области действия лазерного импульса (по его окончании) происходит частичная релаксация поперечных колебаний из-за исчезновения одной из сил. Рассмотрим аналитически генерацию излучения в области, где поперечное поле отсутствует и колебания электронов происходят только в потенциальном поле нити. На рис.1 это соответствует расстояниям от ~ 10 мкм от начала нити и далее. Функцию распределения f_e электронов по углам и энергиям будем считать известной из численного расчета (см. рис.2).

Для аналитического расчета мощности излучения сгустка электронов с известной функцией распределения (рис.2), движущегося вдоль нити вне области проникновения лазерного поля, используется формула [9]

$$P(t) = \int \frac{2e^2}{3c^2} \frac{w(t, r_0, p_0)^2 - [w(t, r_0, p_0)v(t, r_0, p_0)]^2/c^2}{[1 - v(t, r_0, p_0)^2/c^2]^3} \times f_e(r_0, p_0) d^3r_0 d^3p_0. \quad (5)$$

Формула (5) представляет собой мощность излучения (3) отдельного электрона, усредненную по распределению электронов. Для вычислений по формуле (5) нужен закон движения отдельного электрона при заданных начальных условиях $\mathbf{r}(t, r_0, p_0)$. Закон движения следует из системы (1), в которой лазерное поле отсутствует, а потенциал нитей (2) остается тем же. Заряд нити вне области действия лазерного поля по-прежнему определяется формулой (2), т. к. число быстрых электронов сохраняется при распространении сгустка на десятки микрометров. В работе [10] показано, что наведенный за счет перераспределения холловых электронов заряд нити равен заряду движущихся над поверхностью нити горячих электронов. В отсутствие лазерного поля система (1) решается аналитически. В поле каждой нити сохраняются импульс p_z , момент импульса \tilde{M}_z и полная энергия отдельного электрона, колеблющегося с безразмерной амплитудой \tilde{r}_{\max} в этом поле:

$$\frac{\sqrt{1 + p_z^2 + \tilde{M}_z^2/\tilde{r}^2}}{\gamma_z \sqrt{1 - \dot{\tilde{r}}^2/c^2}} + \frac{\beta}{\gamma_z} \ln \frac{\tilde{r}}{\tilde{r}_{\max}} = 1, \quad (6)$$

$$\gamma_z = \sqrt{1 + p_z^2 + \tilde{M}_z^2/\tilde{r}_{\max}^2}.$$

Из (6) получаем закон поперечных колебаний и продольного движения электрона в аналитической форме:

$$\begin{aligned} \tau &= \int d\tilde{r} \left(1 - \frac{\beta}{\gamma_z} \ln \frac{\tilde{r}}{\tilde{r}_{\max}} \right) \\ &\times \left[\left(1 - \frac{\beta}{\gamma_z} \ln \frac{\tilde{r}}{\tilde{r}_{\max}} \right)^2 - 1 - \frac{\tilde{M}_z^2 (\tilde{r}_{\max}^2 / \tilde{r}^2 - 1)}{\tilde{r}_{\max}^2 \gamma_z^2} \right]^{-1/2}, \\ \dot{\tilde{z}} &= \sqrt{1 - \tilde{r}^2} \frac{p_z}{\sqrt{1 + p_z^2 + \tilde{M}_z^2 / \tilde{r}^2}}, \\ \dot{\phi} &= \frac{\tilde{M}_z}{\tilde{r}^2} \left(\frac{1 - \tilde{r}^2}{1 + p_z^2 + \tilde{M}_z^2 / \tilde{r}^2} \right)^{1/2}. \end{aligned} \quad (7)$$

Период радиальных колебаний T , следующий из (7), описывается выражением

$$\begin{aligned} \frac{cT(\mu, \varepsilon_\varphi)}{r_{\max}} &= 2 \int_{x_1(\mu, \varepsilon_\varphi)}^1 dx \frac{1 - \mu \ln x}{\sqrt{(1 - \mu \ln \tilde{x})^2 - 1 - \varepsilon_\varphi^2 (\tilde{x}^{-2} - 1)}}, \\ \mu &= \frac{\beta}{\gamma_z}, \quad \varepsilon_\varphi = \frac{\tilde{M}_z}{\gamma_z r_{\max}}, \end{aligned} \quad (8)$$

где $\tilde{x} = \omega_L x / c$, а точка поворота \tilde{x}_1 задается уравнением $(1 - \mu \ln \tilde{x}_1)^2 - \varepsilon_\varphi^2 (\tilde{x}_1^{-2} - 1) = 1$. Безразмерный параметр μ представляет собой отношение характерной потенциальной энергии к кинетической энергии движения вдоль нити и определяет угол отклонения траектории электрона. Параметр ε_φ связан с азимутальным движением и является безразмерной ($\varepsilon_\varphi = v_\varphi / c$) скоростью азимутального вращения. Как упоминалось выше, в случае линейной поляризации лазерного импульса $v_\varphi \ll c$ и параметр ε_φ мал.

Расчет показывает, что период с достаточной точностью описывается выражением

$$\frac{cT(\mu, \varepsilon_\varphi)}{r_{\max}} \approx 1.5 + \frac{2}{\sqrt{\mu}}. \quad (9)$$

Характерная частота излучения ω^* (определяющая максимум спектральной мощности) релятивистского электрона при радиальных колебаниях со значительной амплитудой (на рис.2,б угол отклонения электрона ϑ превышает характерный угол раствора излучения θ) совпадает с характерной частотой синхротронного излучения [9], в выражение для которой вместо периода вращения электрона в магнитном поле подставлен период (9) колебаний электронов в нити:

$$\omega^* = \gamma_z^3 2\pi / T \approx \gamma_z^3 4\pi c / (7r_{\max}). \quad (10)$$

В (9) параметр $\mu \approx 1$, поскольку угол отклонения электрона на рис.2,б достаточно большой. Ниже в формуле (19) приведен явный вид зависимости спектральной мощности от частоты. Мощность излучения отдельного электрона (подынтегральное выражение в (5)) получается при подстановке ускорения электрона (4) в (5). В результате мощность излучения отдельного электрона выражается через его поперечную координату:

$$P_{1e}(r) = \frac{8e^4 \rho_{\text{ch}}^2 \gamma_z^2 [1 + \varepsilon_\varphi^2 (r_{\max}^2 / r^2 - 1)]}{3m_e^2 c^3 r^2}. \quad (11)$$

Зависимость мощности от времени получится подстановкой в (11) закона радиального движения $r(t)$, определяемого первым выражением в (7). Появление r^{-2} в (11) легко объяснимо: поскольку поле нити $\propto 1/r$, то ускорение тоже $\propto 1/r$, а мощность пропорциональна квадрату ускорения, т. е. $1/r^2$. При $r = 0$ поле нити, ускорение и мощность формально обращаются в бесконечность. Поэтому в отсутствие углового момента ε_φ нужно ограничить r (и нижний предел интегрирования в (7)) радиусом нити r_w . При наличии углового момента падение электрона в точку $r = 0$ невозможно и (11) всегда дает конечное значение мощности.

Выражение для среднего значения мощности излучения отдельного электрона по периоду колебаний получается усреднением (11) по времени и после замены переменной интегрирования принимает вид

$$\begin{aligned} \langle P_{1e} \rangle &= \frac{1}{T} \int_0^T P_{1e}(t) dt = \frac{2}{T} \int_{r_{\min}}^{r_{\max}} P_{1e}(r) \frac{dr}{\tilde{r}(r)} \\ &= \frac{2e^2 c \gamma_z^4}{3r_0^2} g(\mu, \varepsilon_\varphi), \end{aligned} \quad (12)$$

где функция

$$\begin{aligned} g(\mu, \varepsilon_\varphi) &= \mu^2 \int_{x_1(\mu, \varepsilon_\varphi)}^1 \frac{(1 - \mu \ln \tilde{x}) [1 + \varepsilon_\varphi^2 (\tilde{x}^{-2} - 1)]}{\tilde{x}^2 \sqrt{(1 - \mu \ln \tilde{x})^2 - 1 - \varepsilon_\varphi^2 (\tilde{x}^{-2} - 1)}} dx \\ &\times \left[\int_{x_1(\mu, \varepsilon_\varphi)}^1 dx \frac{1 - \mu \ln \tilde{x}}{\sqrt{(1 - \mu \ln \tilde{x})^2 - 1 - \varepsilon_\varphi^2 (\tilde{x}^{-2} - 1)}} \right]^{-1}. \end{aligned} \quad (13)$$

Она приведена на рис.5 для различных ε_φ . В отличие от периода колебаний, зависимость средней по времени мощности излучения от параметра ε_φ является сильной. Рост мощности при уменьшении момента импульса электрона объясняется тем, что при малых моментах электрон подходит ближе к нити, где поле сильнее, ускорение больше и, соответственно, мощность излучения выше. Отметим, что при движении электрона в ионном канале (см. потенциал в нижней строке (2)), рассмотренном в [4, 11], мощность излучения определяется формулой, аналогичной (11):

$$P_{1e}^{\text{ch}}(r) = \frac{8e^4 \rho_{\text{ch}}^2 \gamma_z^2 [1 + \varepsilon_\varphi^2 (r_0^2 / r^2 - 1)] r^2}{3m_e^2 c^3 r_{\text{ch}}^4}, \quad (14)$$

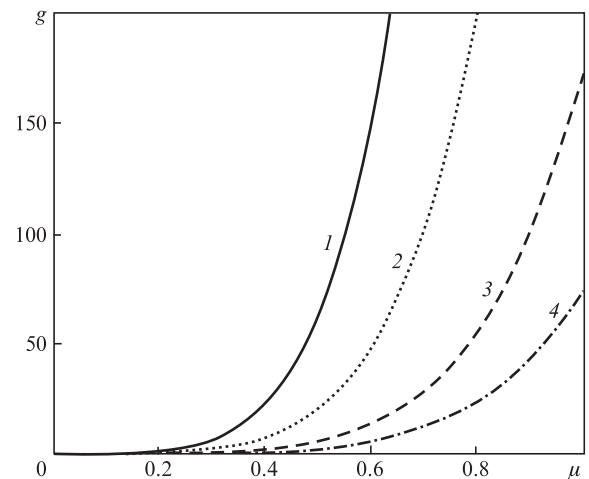


Рис.5. Зависимости $g(\mu)$ при $\varepsilon_\varphi = 0.05$ (1), 0.1 (2), 0.2 (3) и 0.3 (4).

где ρ_{ch} и r_{ch} – заряд канала на единицу длины и его радиус. Из сравнения выражений (11) и (14) видно, что отношение мощностей излучения в канале и в нити определяется соотношением между ρ_{ch}/r_{ch} и ρ/r_w , или между $n_i^{ch}r_{ch}$ и $n_i r_w$. Для канала радиусом 3 мкм (равным радиусу лазерного пучка) в плазме с концентрацией 10^{19} см $^{-3}$ и для нити радиусом 30 нм с концентрацией ионов 6×10^{22} см $^{-3}$ мощность излучения одного электрона в нити превышает такую в канале в ~ 50 раз.

Формула (12) определяет мощность излучения отдельного электрона. Мощность излучения электронов всех нитей получается согласно (5) усреднением (12) по функции распределения (рис.2). На рис.2 приведены распределения по углу и энергии ($\tan^2 \vartheta = \mu$, γ_z) электронов всех нитей мишени. Средняя по распределению $f_e(\mu, \gamma_z)$ электронов мощность излучения определяется выражением

$$\langle P \rangle = \int f_e(\mu, \gamma_z) d\mu d\gamma_z \frac{2e^2 c \gamma_z^4}{3r_0^2} g(\mu, \varepsilon_\varphi). \quad (15)$$

Численный расчет по формуле (15) при малом безразмерном значении момента импульса электрона ($\varepsilon_\varphi = 0.1$) дает $\langle P \rangle = 2.7 \times 10^{12}$ эрг/с ($\varepsilon_\varphi = 0.1$ соответствует примерно равенству азимутальной и характерной радиальной скоростей). Лазерная мощность P_L для интенсивности $I_L = 3 \times 10^{19}$ Вт/см 2 , $d_L = 4$ мкм составляет 5×10^{19} эрг/с. Коэффициент конверсии по мощности $\varepsilon_p = 0.8 \times 10^{-6}$. Для канала с концентрацией электронов 10^{19} см $^{-3}$ коэффициент ε_p примерно в 200 раз меньше. Таким образом, вне области действия лазерного поля коэффициент конверсии мал (меньше, чем, например, коэффициент конверсии в характеристическое излучение ионов мишени), и этот случай неоптимален для эффективной генерации когерентного жесткого излучения.

4. Резонансные бетатронные колебания

При движении электрона в мишени из нитей возможен резонанс между колебаниями электрона в поле лазерной волны и в электростатическом поле нити. Выше в аналитической модели резонанс наблюдался при $\beta = 0.19$ (рис.4,б). При резонансе амплитуда (энергия) бетатронных колебаний возрастает (см. рис.4,б), и именно резонансный случай наиболее интересен для исследования и оптимален для увеличения мощности вторичного излучения. Бетатронные колебания электронов в рассматриваемых условиях характеризуются сильной нелинейностью (зависимостью частоты от амплитуды), поэтому численный поиск резонансных параметров мишени и лазерного импульса требует изменения хотя бы одного из этих параметров в широких пределах.

Для поиска резонансных условий было проведено моделирование взаимодействия лазерного импульса (параметры приведены выше) с одной нитью переменного диаметра, $d_w = 5 - 100$ нм, на расстоянии 75 мкм. При достижении $d_w = 13$ нм (в точке $z = 35$ мкм) происходило значительное (примерно в четыре раза) увеличение поперечного импульса и энергии электрона. Для подтверждения резонансного значения диаметра было выполнено моделирование мишеней с диаметром нити 7 и 13 нм и расстоянием между нитями 1200 нм. Параметры лазерного импульса те же, что и для рис.1. На рис.6 показана зависимость максимального γ -фактора электрона от безразмерной плотности заряда нити β . Плотность заряда нити определялась

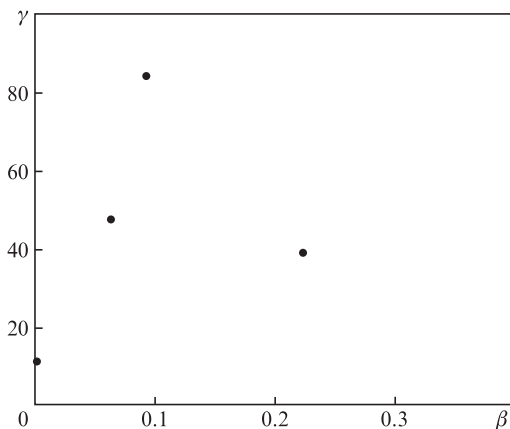


Рис.6. Зависимость максимального γ -фактора электрона от безразмерной плотности заряда нити β , полученная по результатам численного 2D PIC-моделирования. Параметры лазерного импульса те же, что и для рис.1.

по разности средних концентраций электронов и ионов внутри нити и составила 0.06 и 0.08 для $d_w = 7$ и 13 нм соответственно. Дополнительно на рис.6 приведены описанные выше данные моделирования для $d_w = 60$ нм ($\beta = 0.23$) и максимальный лоренц-фактор электрона в поле лазерной волны с интенсивностью 3×10^{19} Вт/см 2 в отсутствие нитей. Сравнение численных данных (рис.6) с аналитической моделью (рис.4,б) показывает, что в численном расчете, как и в модели, наблюдается выраженный резонанс, но при $\beta \approx 0.08$. Расхождение (примерно в два раза) между резонансными значениями плотности заряда, полученными в аналитической модели и при численном расчете, связано со сделанными приближениями: в модели β является независимым параметром, а в расчете он устанавливается самосогласованным образом и определяется параметрами импульса и мишени.

Резонансное для аналитической модели значение $\beta = 0.19$ соответствует полному удалению электронов из нити диаметром ~ 3 нм (или, в случае нити большего диаметра, частично, пропорционально отношению площадей, удалению). В численном расчете резонансный диаметр составлял 13 нм и экстракция электронов была частичной. В аналитической модели в случае резонанса средняя энергия электрона увеличивается примерно в два раза (как и в численном расчете), а средняя интенсивность излучения – примерно в четыре раза по сравнению с нерезонансным случаем ($\beta = 0.23$). В отличие от движения электрона в поле волны (без нити, $\beta = 0$) происходит более существенное увеличение энергии (в восемь раз) и мощности (в 60 раз) излучения.

Аналитическая модель позволяет исследовать свойства резонанса при изменении диаметра нити (см. рис.4). В модельных расчетах резонанс имеет «острый» характер, т.к., например, значения $\beta = 0.18, 0.19, 0.2$ дают в разы различающиеся энергию электрона и интенсивность излучения. В реальном эксперименте и при численном моделировании значения r_w и a_L определяют плотность заряда, т.к. она устанавливается самосогласованным образом. Соответственно и в модели параметр β не может выбираться произвольно. Проведем его оценку из условия того, что электростатическое поле нити, возникшее из-за экстракции электронов лазерным полем, должно быть сравнимо с лазерным полем: $2e\phi/r_w = 2e(n_i - n_e)r_w \approx E_L$. Из этого соотношения следует, что $\beta \approx a_L r_w \omega_L / c$. Для $r_w = 30$ нм

при $a_L = 5$ модельное значение $\beta \approx 1.2$, что больше расчетного резонансного значения $\beta = 0.19$, поскольку при частичной экстракции электронов из нити модель не позволяет определить соответствующий диаметр точно. Однако она позволяет определить интервал поиска резонансного диаметра нити при заданных лазерных параметрах. Резонанс чувствителен к временному профилю лазерного импульса. Замена прямоугольного огибающей импульса (рис.4) на гауссов профиль приводит при $\beta = 0.19$ к уменьшению резонансных значений на рис.4,б примерно в два раза. Однако сам резонанс сохраняется и при плавном профиле.

Отметим, что при изменении толщины лазерной мишени также наблюдается максимум энергии быстрых электронов при определенном значении толщины [12], однако для мишени из нитей этот максимум является более острым и интерпретируется как следствие резонанса при колебаниях электронов.

Аналитически условие резонанса записывается как условие резонанса между лазерной накачкой и колебаниями в поле нити: $\omega_L = 2\pi/T$. Условие резонанса соответствует наличию двух независимых сил в уравнении радиального движения и отсутствию связи продольного и поперечного движений. Такой случай реализуется для системы (1) в пределе $p_{y,z} \ll 1$, $\gamma \approx \gamma_z \approx 1$, $a(\xi) \ll 1$, т.е. при малых амплитудах лазерного поля. В этом случае уравнение радиального движения принимает вид

$$\ddot{r} = \frac{\partial a(\xi)}{\partial \xi} + \frac{\partial \tilde{U}(\tilde{r})}{\partial \tilde{r}}. \quad (16)$$

При малых отклонениях электрона от оси нити (см. потенциал в нижней строке (2)) его движение становится гармоническим:

$$\ddot{r} + \beta \tilde{r}_w^{-2} \tilde{r} = a_L \cos \xi. \quad (17)$$

Условие резонанса для уравнения (17) имеет вид $\beta = \tilde{r}_w^2 = (2\pi r_w / \lambda_L)^2 \ll 1$. При увеличении амплитуды колебаний и выходе электрона за пределы нити колебания в потенциальном поле, описываемые выражением (16), становятся нелинейными: период T зависит от амплитуды r_{\max} ,

$$\frac{cT}{r_{\max}} \approx 1.5 + \frac{2}{\sqrt{\beta}}. \quad (18)$$

Условие резонанса при этом принимает вид $\tilde{r}_{\max}(1.5 + 2\beta^{-1/2}) \approx 2\pi$. Отметим, что резонанс при нелинейных колебаниях по своим свойствам отличается от резонанса в линейном уравнении (17): с увеличением амплитуды меняется частота и система выходит из резонанса, при этом амплитуда начинает уменьшаться, частота возвращается к резонансному значению и амплитуда снова начинает расти. В результате происходят аperiодические изменения амплитуды колебаний и энергии электрона, видимые, например, на временной зависимости γ на рис.4,а. Амплитуда колебаний при этом меняется аperiодически и остается конечной даже в отсутствие диссипативных сил.

При релятивистских амплитудах лазерного поля ($a(\xi) > 1$) поперечное движение электронов смешивается с продольным и в полной системе (1) невозможно выделить две отдельные поперечные силы с отдельными частотами воздействия и аналитически записать условие резонанса. Система (1) дает возможность определить только тенден-

ции изменения резонансного условия. Так, малость характерного угла распространения электрона (рис.2,б) позволяет в нулевом приближении считать $\gamma_z \approx \text{const}$, и тогда влияние продольного движения на поперечное сводится к увеличению эффективной массы электрона и период поперечных колебаний возрастает. Действительно, согласно (9) период растет при увеличении γ_z . В результате безразмерная величина $T\omega_L$ также растет: например, в расчетах, выполненных по аналитической модели, при резонансных параметрах $\tilde{r}_{\max} \approx 20$, $\langle \gamma_z \rangle \approx 10.6$, $\beta = 0.19$ получаем $T\omega_L \approx \tilde{r}_{\max}(1.5 + 2\sqrt{\gamma_z/\beta}) \approx 312 \gg 2\pi$. В плазменном канале [4, 11] ситуация аналогична: при резонансе отношение частоты колебаний в канале к лазерной частоте $\omega_p^{\text{ch}}/\omega_L$ составляет ~ 0.12 .

Численно оптимальное для достижения максимума амплитуды $\tilde{r}(\tau)$ значение плотности заряда нити β^* как функция a_L определяется выражением $\beta^*(a_L) \approx 0.02a_L^{1.3}$, что справедливо в интервале $2 < a_L < 30$ и при расстоянии между нитями $b > 2\tilde{r}(\tau)$, $\forall \tau$. Резонансный параметр в системе (1) слабо зависит от радиуса нити в диапазоне $r_w = 10-200$ нм.

Поскольку в реальности β не является произвольным параметром, а определяется параметрами лазерного импульса и мишени, для нахождения оптимального диаметра нити как функции лазерной интенсивности были выполнены расчеты для интенсивностей 10^{20} и 10^{21} Вт/см². Остальные параметры были такими же, как и при моделировании (см. рис.1). Для каждой из этих двух интенсивностей проводился перебор диаметров нити в диапазоне 20–200 нм с шагом 20 нм. Выбирался тот диаметр, для которого энергия электронов максимальна. Результаты расчетов приведены на рис.7 (точки). Видно, что зависимость оптимального диаметра от амплитуды поля близка к линейной, т.е. $d_w \propto \sqrt{I_L}$. Для сопоставления результатов численных расчетов с оптимальной безразмерной плотностью заряда $\beta^*(a_L)$, следующей из уравнений (1), на рис.7 представлены значения плотности заряда нити β для каждого из трех оптимальных диаметров. Пунктирной кривой показана зависимость $\beta^*(a_L)$. Видно, что скейлинговая формула для оптимальной плотности заряда согласуется с данными численного 2D PIC-моделирования.

В резонансном случае коэффициент конверсии лазерного излучения в когерентное рентгеновское излучение может быть существенно увеличен. Для этого нити мишени должны иметь оптимальный диаметр и расстояние

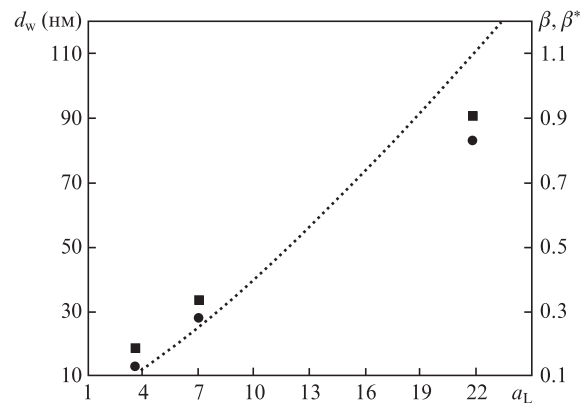


Рис.7. Зависимости от безразмерной амплитуды лазерного поля a_L оптимального диаметра d_w нити (●), а также безразмерных плотностей заряда нити β (■) и β^* (кривая). Длительность лазерного импульса 45 фс, диаметр пучка 4 мкм, расстояние между нитями мишени 1200 нм.

между ними для большей глубины проникновения лазерного импульса внутрь нитяной мишени и совместного распространения электронов и лазерного импульса вдоль нитей должно быть увеличено до $b \geq 2\lambda_L$. На рис.3,а это соответствует большой высоте нижнего прямоугольника и отсутствию остальных областей. Аналитическая формула (15) для мощности бетатронного излучения в этом случае несправедлива (присутствует поперечное поле), и оценка проводится численно непосредственно по формулам (1), (3). Поскольку мощность излучения растет с ростом a_L , для нахождения максимального коэффициента конверсии возьмем максимально возможное экспериментальное значение $a_L = 30$. Тогда расчет по формулам системы (1) дает оптимальное значение $\beta^* = 1.7$ при $r_w = 150$ нм. Значения энергии и мощности излучения отдельного электрона, полученные по формуле (3), таковы: $\langle \gamma \rangle = 14500$, $\langle \tilde{P}_{1e} \rangle = 3 \times 10^{10}$, $\langle \gamma_z \rangle = 530$ ($\tilde{r}_{\max} = 120$).

Резонансное значение β определяет число быстрых электронов, т. к. $\rho = en_{ch}/(ct_L) = \beta m_e c^2 / (2e)$. Усреднение по функции распределения для оценки заменим умножением интенсивности излучения отдельного электрона на n_{ch} . Коэффициент конверсии ε_p вычислим, считая, что нить «перехватывает» лазерное излучение на эффективной площади πr_{\max}^2 . Тогда

$$\varepsilon_p = \frac{n_{ch} P_{1e}}{I_L \pi r_{\max}^2} = \frac{4e^2 \omega_L^2 t_L}{3m_e c^3} \frac{\beta \tilde{P}_{1e}}{a_L^2 \tilde{r}_{\max}}$$

и для $t_L = 30$ фс, $a_L = 30$ получаем $\varepsilon_p \approx 0.02$.

Максимум спектральной мощности излучения приходится на энергию $\hbar \omega_c \approx (\hbar \omega_L \gamma_z^3 \pi / \tilde{r}_{\max}) [1.5 + 2(\beta/\gamma_z)^{-1/2}]$, составляющую для наших параметров ~ 2.45 МэВ. Ширина максимума порядка 1.5 МэВ. Вид спектра соответствует спектру синхротронного излучения. Отметим, что мишень из нитей, отвечающая условиям резонанса, имеет отношение диаметра нити к расстоянию между нитями $d_w/b = 0.02$. В работе [7] было показано, что наибольшее поглощение (наибольшая суммарная энергия горячих электронов) получается при $d_w/b \approx 0.05$. Длина поглощения при этом составляет единицы микрометров. Таким образом, для максимальной конверсии в бетатронное излучение необходима более «разреженная» мишень из нитей, в которой лазерный импульс распространяется на десятки микрометров, вызывая резонанс колебаний электрона в поперечном поле и в потенциальном поле нити.

5. Сравнение мощностей бетатронного и тормозного излучений

При движении электрона в среде мощность тормозного излучения определяется выражением

$$P^{BG} = \frac{4e^6 Z^2 n_i \gamma}{m_e c^2 \hbar} \ln(2\gamma),$$

и отношение мощностей бетатронного и тормозного излучений

$$\frac{\langle P \rangle}{P^{BG}} = \frac{137 m_e c^2 \gamma_z^4}{6 x_0^2 e^2 Z^2 n_i \gamma \ln(2\gamma)} \mu^2.$$

При интенсивности 10^{21} Вт/см², $r_{\max} \approx 1$ мкм, $\mu \approx 1$, $\gamma_z \approx 6$, $\gamma \approx 36$, $n_i \approx 6 \times 10^{22}$ см⁻³ и $Z = 6$ получаем $\langle P \rangle / P^{BG} = 0.03$. Таким образом, с точки зрения генерации максимально-

го числа жестких квантов, выгоднее направлять быстрые электроны в сплошную среду. Отметим, что в тонкой нити основная часть траектории электрона проходит вне нити. Поэтому мощность тормозного излучения меньше примерно в r_{\max}/r_w раз (на самом деле еще меньше, т. к. большие прицельные параметры тоже вносят вклад в тормозное излучение). Для $r_{\max} \approx 1$ мкм и $r_w \approx 50$ нм она меньше примерно в 20 раз. Тогда в тонкой нити мощность тормозного излучения порядка мощности бетатронного, но меньше мощности излучения того же числа электронов в сплошной среде. После генерации электронов в нити для получения максимального выхода жесткого излучения выгоднее направить их в сплошную среду, чем предоставить им двигаться вдоль нити.

Спектральная мощность бетатронного излучения определяется формулой, аналогичной формуле для синхротронного излучения:

$$\frac{dP_{1e}}{d\omega} = \frac{\sqrt{3} e^2 \gamma_z}{2\pi r_0} \mu^2 F\left(\frac{\omega r_0 (1.5 + 2\mu^{-1/2})}{3\pi \gamma_z^2 c}\right), \quad (19)$$

где

$$F(x) = x \int_x^\infty K_{5/3}(\xi) d\xi.$$

Максимум выражения (19) приходится на частоту $\omega_{cw} \approx (\gamma_z^3 \pi c / r_0) (1.5 + 2\mu^{-1/2})$. Интеграл по всем частотам от выражения (19) дает полную мощность излучения (12).

Спектральная мощность излучения Бете–Гайтлера

$$\frac{dP^{BG}}{d\omega} = \frac{16e^2 Z^2 n_i}{3m_e^2 c^4} \ln \frac{2\gamma^2 m_e c^2}{\hbar \omega}.$$

Отношение спектральных мощностей в точке максимума $\omega = \omega_{cw}$

$$\frac{dP/d\omega}{dP^{BG}/d\omega} = \frac{3\sqrt{3} \gamma_z m_e^2 c^4}{32\pi x_0 e^4 Z^2 n_i \ln[4x_0 \gamma^2 m_e c / (3\hbar \gamma_z^2)]} \mu^2,$$

что для нити радиусом 30 нм с концентрацией ионов 6×10^{22} см⁻³ составит ~ 400 . Таким образом, пик бетатронного излучения возвышается над тормозным фоном даже в случае сплошной среды. Для нитей мощность тормозного фона меньше максимум в r_{\max}/r_w раз. Поэтому амплитуда пика должна превышать тормозной фон примерно на три порядка.

Бетатронное излучение электронов некогерентно по их ансамблю, поэтому переход от мощности излучения отдельного электрона к мощности излучения сгустка сводится к усреднению по функции распределения электронов сгустка.

6. Заключение

Лазерная мишень из тонких нитей является источником рентгеновского когерентного бетатронного излучения аналогично плазменному каналу в оптически прозрачной плазме. При оптимальных диаметре нитей и расстоянии между ними мощность рентгеновского излучения мишени из нитей на два порядка превышает мощность в плазменном канале при одинаковых параметрах лазерного импульса. Особенности рассмотренного бетатронного излучения являются большая энергия кванта, соответству-

ющая максимуму спектральной интенсивности излучения, когерентность по числу ионов на единицу длины нити и отсутствие когерентности по числу излучающих быстрых электронов. Наличие резонанса по лазерной интенсивности и диаметру нити позволяет при интенсивностях $\sim 10^{21}$ Вт/см² достичь коэффициента конверсии лазерной энергии в энергию когерентных жестких квантов $\sim 1\%$. Бетатронное излучение имеет узкую направленность вдоль нитей и спектр, совпадающий по форме со спектром синхротронного излучения. Таким образом, мишень, состоящая из пучка тонких нитей, может рассматриваться в качестве эффективного лазерного источника когерентного рентгеновского излучения.

1. Mourou G., Tajima T., Bulanov S. *Rev. Mod. Phys.*, **78**, 309 (2006).

2. Gibbon P. *Short Pulse Laser Interactions with Matter* (London: Imperial College Press, 2005).
3. Ostrikov K. *Rev. Mod. Phys.*, **77**, 489 (2005).
4. Kostyukov I., Kiselev S., Pukhov A. *Phys. Plasmas*, **10**, 4818 (2003).
5. Nakajima H., Tokita S., et al. *Phys. Rev. Lett.*, **110**, 155001 (2013).
6. Kemp A., Ruhl H. *Phys. Plasmas*, **12**, 033105 (2005).
7. Андреев А.А., Платонов К.Ю. *Оптика и спектроскопия*, **117**, 298 (2014).
8. Joy D., Luo S. *Scanning*, **11**, 176 (1989).
9. Ландау Л.Д., Лифшиц Е.М. *Теория поля* (М.: Наука, 1972).
10. Andreev A., Seccotti T., Levy A., Platonov K., Martin Ph. *New J. Phys.*, **12**, 045007 (2010).
11. Arefiev A., Khudik V., Schollmeier M. *Phys. Plasmas*, **21**, 033104 (2014).
12. Andreev A.A., Platonov K.Yu., Schnürer M., Prasad R., Ter-Avetisyan S. *Phys. Plasmas*, **20**, 033110 (2013).